

Image Compression Report

郑凯文

2021 年 5 月 5 日

1 DCT

对于图像中 $N \times N$ 大小的block，其DCT变换为

$$c(u, v) = \alpha(u)\alpha(v) \sum_{x=0}^{N-1} \sum_{y=0}^{N-1} f(x, y) \cos\left(\frac{(2x+1)u\pi}{2N}\right) \cos\left(\frac{(2y+1)v\pi}{2N}\right), \quad u, v = 0, 1, \dots, N-1 \quad (1)$$

逆变换为

$$f(x, y) = \sum_{u=0}^{N-1} \sum_{v=0}^{N-1} \alpha(u)\alpha(v) c(u, v) \cos\left(\frac{(2x+1)u\pi}{2N}\right) \cos\left(\frac{(2y+1)v\pi}{2N}\right), \quad x, y = 0, 1, \dots, N-1 \quad (2)$$

其中

$$\alpha(a) = \begin{cases} \sqrt{1/N}, & a = 0 \\ \sqrt{2/N}, & a > 0 \end{cases} \quad (3)$$

若保留 $1/k^2$ 的系数，则取矩阵 $c(u, v)$ 左上角 $N/k \times N/k$ 大小的区域，其余元素置0。在实现中，可以构造如下矩阵

$$A = \begin{bmatrix} \sqrt{1/N} & \sqrt{1/N} & \cdots & \sqrt{1/N} \\ \sqrt{2/N} \cos(\pi/2N) & \sqrt{2/N} \cos(3\pi/2N) & \cdots & \sqrt{2/N} \cos((2N-1)\pi/2N) \\ \sqrt{2/N} \cos(2\pi/2N) & \sqrt{2/N} \cos(6\pi/2N) & \cdots & \sqrt{2/N} \cos(2(2N-1)\pi/2N) \\ \vdots & \vdots & \ddots & \vdots \\ \sqrt{2/N} \cos((N-1)\pi/2N) & \sqrt{2/N} \cos((N-1)3\pi/2N) & \cdots & \sqrt{2/N} \cos((N-1)(2N-1)\pi/2N) \end{bmatrix} \quad (4)$$

设图像矩阵为 F ，则正变换和逆变换可以表示为

$$C = AFA^T, \quad F = A^TCA \quad (5)$$

1.1 1D-DCT & 2D-DCT

经过实验可以发现，分别进行两次1D-DCT、两次系数裁剪和进行一次2D-DCT、一次系数裁剪的效果完全相同。使用上节的矩阵，这容易从理论上解释：

暂时不考虑系数裁剪，首先对每行进行1D-DCT，原图中第 x 行对应着结果中第 u 行，这样

$$c_1(u, v) = \alpha(v) \sum_{y=0}^{N-1} f(u, y) \cos\left(\frac{(2y+1)v\pi}{2N}\right), \quad u, v = 0, 1, \dots, N-1 \quad (6)$$

对照发现，这恰好可以使用上节的矩阵 A 表示

$$C_1 = FA^T \quad (7)$$

同理，再对列进行1D-DCT

$$C_2 = AC_1 = AFA^T \quad (8)$$

因此 $C_2 = C$ 。继续考虑系数裁剪，设

$$A = \begin{bmatrix} A_k \\ A_{nk} \end{bmatrix} \quad (9)$$

其中 A_k 为矩阵 A 的前 N/k 行。对于2D-DCT，有

$$C = \begin{bmatrix} A_k \\ A_{nk} \end{bmatrix} F \begin{bmatrix} A_k^T & A_{nk}^T \end{bmatrix} = \begin{bmatrix} A_k F A_k^T & - \\ - & - \end{bmatrix} \quad (10)$$

截取左上角 $N/k \times N/k$ 的区域后为 $C_k = A_k F A_k^T$ 。对于1D-DCT，先对行进行

$$C_1 = F \begin{bmatrix} A_k^T & A_{nk}^T \end{bmatrix} = \begin{bmatrix} F A_k^T & F A_{nk}^T \end{bmatrix} \quad (11)$$

截取前 N/k 列后为 $C_{1k} = F A_k^T$ 。再对列进行

$$C_2 = AC_{1k} = A F A_k^T = \begin{bmatrix} A_k F A_k^T \\ - \end{bmatrix} \quad (12)$$

截取前 N/k 行后为 $C_{2k} = A_k F A_k^T = C_k$ 。所以二者还是等价的。

1.2 Ratio of Coefficients & Block Size

为了方便块的划分，我首先将328x328大小的图像resize为512x512。我选取了1、1/4、1/16、1/64四种系数比例和8、32、128、512四种块大小，计算其PSNR如下：

表 1: 不同系数比例和块大小下的PSNR表

PSNR \ 块大小					
		8	32	128	512
系数比例	1	318.36	307.36	295.43	282.01
	1/4	40.07	42.85	43.53	43.77
	1/16	29.69	31.42	32.10	32.28
	1/64	24.11	25.84	26.57	26.71

从中可以看出

- 系数比例的减小会使PSNR明显下降
- 系数全部保留时，块大小越小PSNR越高（此时其实可完全恢复原图，这是精度问题造成的）；反之，块大小增加会使PSNR有微小的改进，但总的来说影响不大

下面选取一些图片来从视觉角度分析二者的影响。



图 1: 块大小为8时，不同系数比例下的效果图

从图1中看出，随着保留系数的减小，图像越来越粗糙，块大小为8、保留系数为1/64时只保留了左上角的一个分量，使得每块内为纯色。从图2中可以看出，随着块大小的增大，图像更加平滑，但会出现类似于衍射条纹的模式。在保留系数非常小（1/64）、块大小较小时，则会有很严重的blocking artifacts，图像几乎无法使用（图3）。



图 2: 系数比例为1/16时, 不同块大小下的效果图



图 3: 系数比例为1/64时, 不同块大小下的效果图

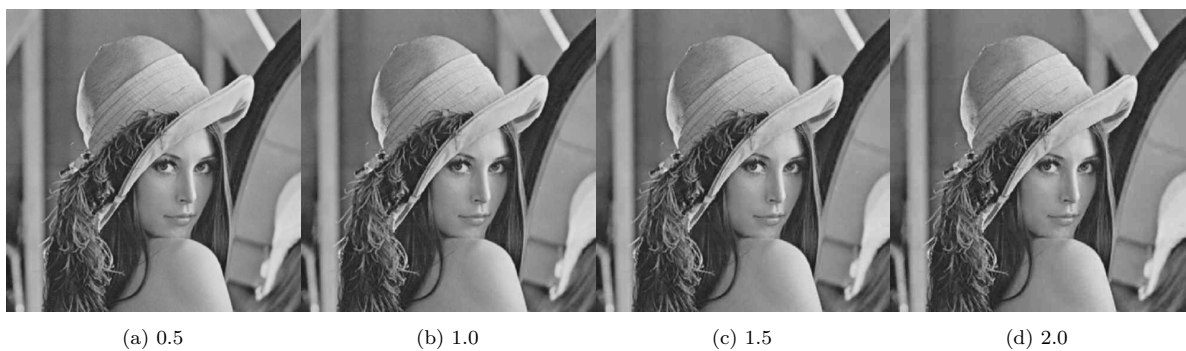


图 4: jpeg量化矩阵不同 a 值下的效果图

2 Quantization

使用 $Q' = aQ$ 作为量化矩阵，图4展示了使用jpeg时，不同 a 值下的效果图。随着 a 增大，变换后矩阵中的值越来越小，零元比例增大，高频信息消失更多，图像也越来越粗糙。在 $a = 2.0$ 时，图像已经出现了比较明显的blocking artifacts。

选取三种量化矩阵，在 $a \in (0.1, 2.0)$ 范围内作出PSNR随 $\log a$ 变化的曲线，如图5所示。可以看出PSNR大致和 $\log a$ 线性相关，且由于jpeg量化矩阵中的元素相对较大，其曲线整体位于另外两者下方。

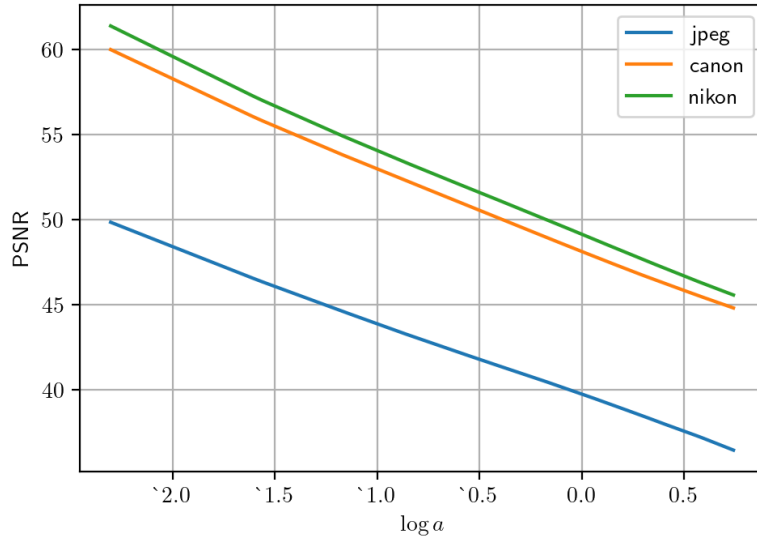


图 5: 三种量化矩阵下的PSNR- $\log a$ 曲线

关于如何从压缩率确定 a ，我搜索到jpeg标准中的做法[How can I generalize the quantization matrix in JPEG compression?](#)，其中说到一个叫品质因子的东西，其范围为1到100。给定品质因子 Q ，定义

$$S = \begin{cases} 5000/Q, & Q < 50 \\ 200 - 2Q, & Q \geq 50 \end{cases} \quad (13)$$

设原先量化矩阵为 T ，则使用的新量化矩阵为 $T' = \text{floor}((ST + 50)/100)$ ，因此可以近似认为

$$a = \begin{cases} 50/Q, & Q < 50 \\ 2 - Q/50, & Q \geq 50 \end{cases} \quad (14)$$

从压缩率确定品质因子，则可以通过统计经验来推断。